

## 1992年 니카라구아 쓰나미의 泛濫 算定 Runup Computation of 1992 Nicaraguan Tsunami

崔秉昊\* · 鄭紅和\*  
Byung Ho Choi\* and Hong Hwa Jung\*

**要 旨 :** 1992年 니카라구아 서쪽海域에서 海底強震이 發生하여 이 地震에 의한 地震海波(쓰나미)는 太平洋 沿岸을 掩襲하여 적어도 95餘名이 死亡하고 155名이 負傷했으며 3,000餘名의 罹災民이 發生하였다. 前回의 研究(Imamura 등, 1993)에서는 1992年 Nicaragua 쓰나미의 發生과 傳播過程이 報告되었는데 適用된 模型은 球面座標의 遠域模型과 直交座標의 近域 模型으로서 海岸에서 直立壁의 假定하에 算定된 結果는 實際 觀測 結果와 泛濫比에 의해 補正되어야만 했었다. 本 研究에서는 沿岸域에 移動 境界를 採擇하는 泛濫 模型을 사용하므로써 El Transito에서 觀測된 6.4-9.9m의 泛濫高가 再現될 수 있는 數值模擬를 수행하였다.

**Abstract** □ Tsunami generated by the 1992 Nicaragua's west coast earthquake caused 95 persons death, 155 persons injury and 3000 persons homelessness. The previous study done by Imamura *et al.* (1993) were on the 1992 Nicaragua tsunami generation and propagation which were simulated by using spherical far-field model and Cartesian near-field model, and the computed results with assumption of vertical wall at coast were adjusted by runup ratio to compare with observations. This study using moving boundary model hindcasts El Transito's runup height which was observed as about 6.4-9.9m.

### 1. 緒 論

1992年 9月 2日 世界時 0時 15分 57.5秒(現地時刻 19時 16分)에 中美 니카라구아의 미나파 西側海岸( $11.76^{\circ}\text{N}$ ,  $87.42^{\circ}\text{W}$ )에서 海底地震이 發生하였다. 이 地震에 의한 쓰나미는 太平洋을 횡단하여 日本에까지 傳播되었으며 越波는 内壁으로 影響을 미쳐 Masa-chapa에서는 1 km까지 泛濫하였으며 El Transito의 境遇 800m까지 泛濫하여 16名이 死亡하고 家屋의 18%가 全破되었다. 太平洋 全域에 걸쳐 沿岸 檢潮所에서 이 쓰나미가 觀測되었는데 Fig. 1(a)는 前回의 遠域 模型(Imamura 등, 1993)에 의해 算定된 Nicaragua 地震海溢의 傳播圖로서 Nicaragua 및 Costa Rica에서는 最高波高 10m, 칠레의 Easter 제도의 Isala de Pascua( $27.15^{\circ}\text{S}$ ,  $109.44^{\circ}\text{W}$ )에서는 7時 55分에 73.7 cm, 멕시코의 Cabo San Lucas( $23.88^{\circ}\text{N}$ ,  $109.90^{\circ}\text{W}$ )에서는 2時 38分에 27.6 cm, 에콰도르의 La Libertad

( $2.21^{\circ}\text{S}$ ,  $80.90^{\circ}\text{W}$ )에서는 2時 53分에 42.1 cm, 칠레의 Valparaiso( $33.0^{\circ}\text{S}$ ,  $71.6^{\circ}\text{W}$ )에서는 7時 55分에 9.8 cm, 하와이 諸島의 Kawaihae( $20.04^{\circ}\text{N}$ ,  $155.83^{\circ}\text{W}$ )에서는 9時 50분에 5.9 cm, 하와이의 Hilo( $19.73^{\circ}\text{N}$ ,  $155.05^{\circ}\text{W}$ )에서는 0時 36分에 11.4 cm, 갈라파고스 群島의 Balta에서는 2時 38分에 112.3 cm, 日本 Sanriku의 Kesennuma灣에서 16時 5分에 13 cm로서 이번 쓰나미의 影響은 太平洋 全域에 걸친 것은 아니었지만 太平洋을 가로질러 日本沿岸까지 tsunami가 傳播되었다. Fig. 1(b)는 遠域 模型에 의한 最大 쓰나미 波高分布를 제시하는데 쓰나미 에너지 波及의 方向性이 잘 提示된다. Photo 1은 中間域 模型의 結果로서 쓰나미가 遠域으로 波及되는 갈라파고스群島에서의 波의 과정에서 反射 및 回折現象이 잘 提示되고 있다.

Fig. 2는 太平洋 沿岸의 檢潮기록으로서 日本의 境遇 13 cm, 하와이 11.4 cm, 잇터 諸島 83 cm, 갈라파고스 群島 112 cm의 쓰나미 波高를 나타내고 있다.

\*成均館大學 工科大學 土木工學科 (Department of Civil Engineering, Sung Kyun Kwan University, Suwon Science Campus, Suwon, Korea)

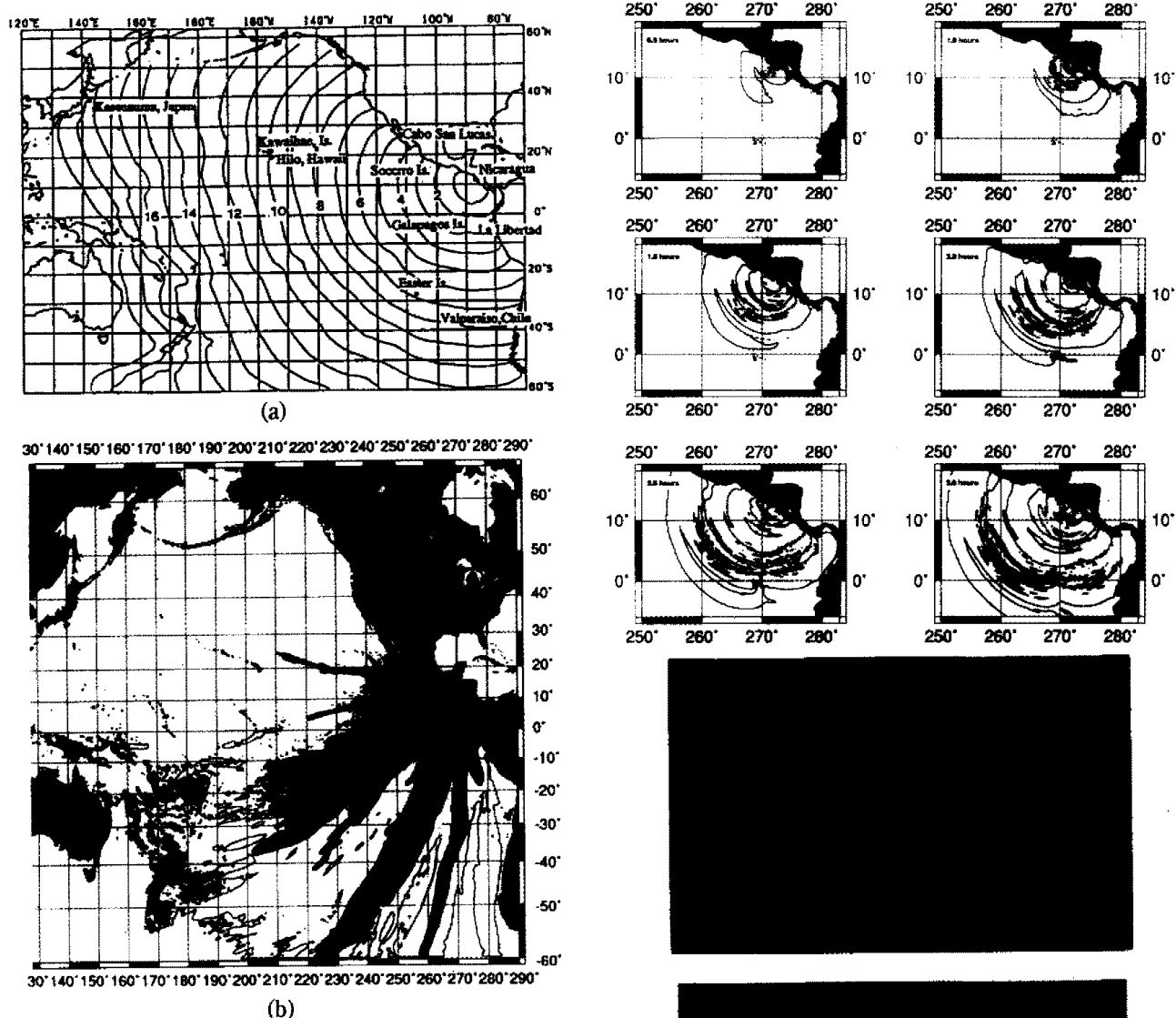


Fig. 1. (a) Propagation map of 1992 Nicaraguan Tsunami (Imamura *et al.*, 1993). (b) Computed maximum water level in the Pacific Ocean.

Fig. 3은 Nicaragua 沿岸을 따라 觀測된 波高로서 El Transito의 경우 最高 9.9m를 記錄하였으며 이곳을 基準으로 北쪽으로는 Jiquilillo까지 6m~2m까지漸進의으로 減少하며 南쪽으로는 波高가 一定하다는 El Ostional에서 急激히 減少하는 傾向을 나타낸다. 本研究에서는 이번 쓰나미에 의해 被害가 가장 커고 最高 9.9m의 泛濫高를 記錄한 El Transito에서의 泛濫에 초점을 두어 쓰나미 模型에 의한 범람산정을 수행하였다.

## 2. 쓰나미의 算定

本研究에서 泛濫을 算定하기 위해 模型을 3個 領

Photo 1. A series of snapshots showing propagation of tsunami due to 1992 Nicaraguan earthquake.

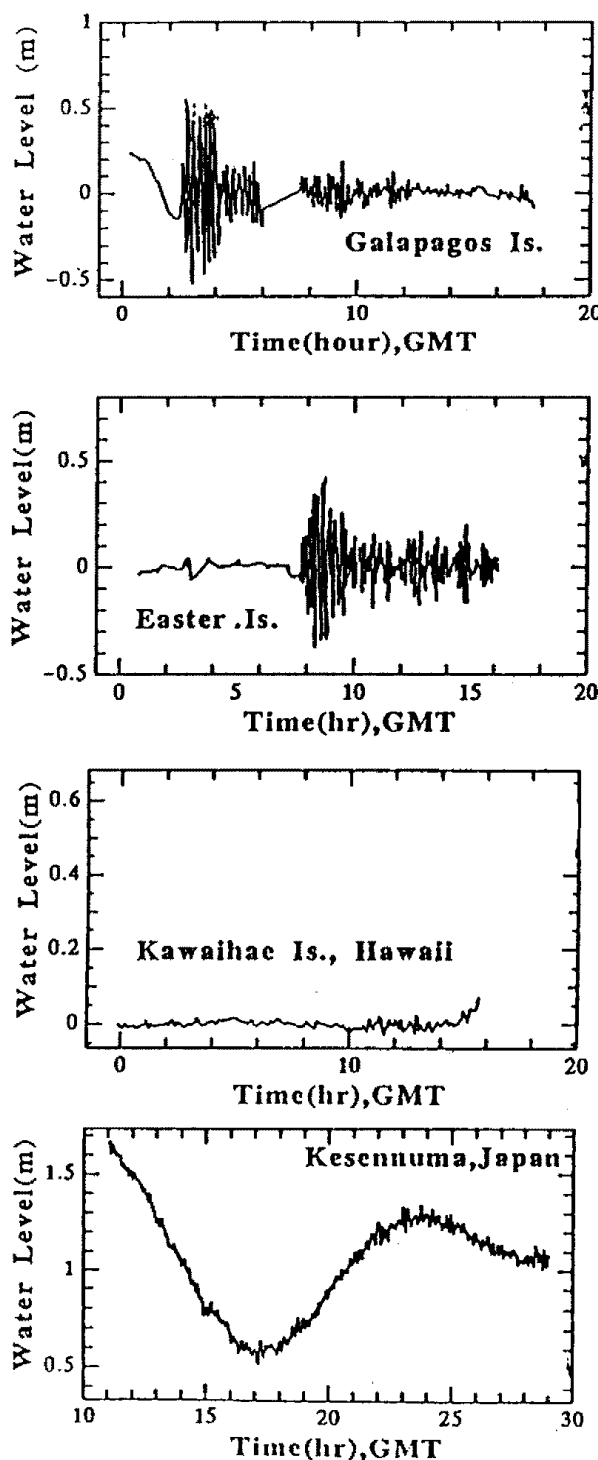


Fig. 2. Tide records of coast of Pacific Ocean.

域으로構成하였는데, 近域模型, 小域模型, 沔濫模型으로各各構成하였다. 沔濫模型을遂行하기위해 우선既存의近域模型의經緯度를各各 $1/3^{\circ}$ 로細分化는沿岸域에서의쓰나미의增幅을再現하기위해沿岸地域의格子를細分化하고, 模型의計算을修行하는中에連結이 이루어지는境界面에波의影響이

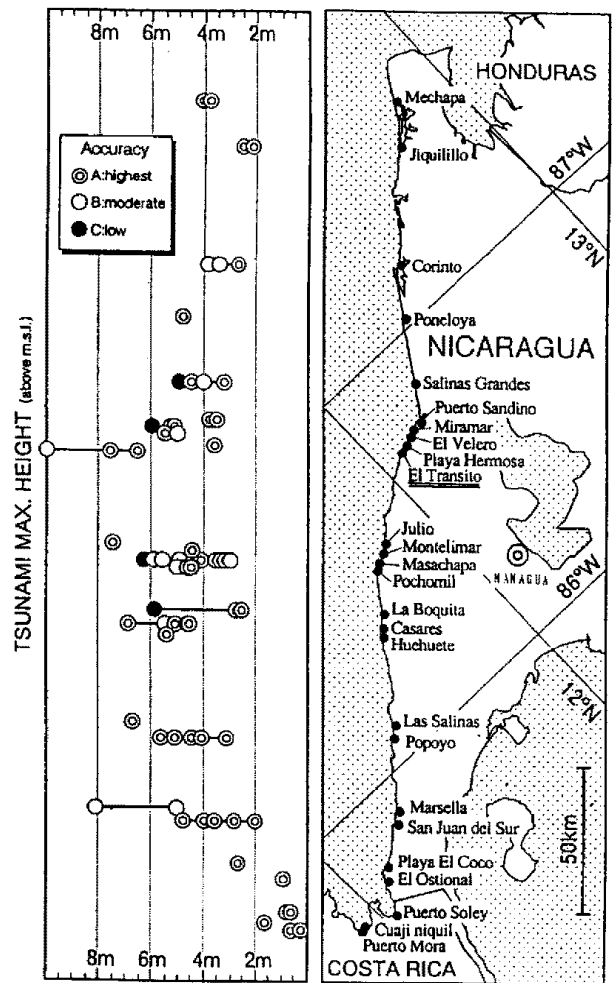


Fig. 3. Observed maximum tsunami height of Nicaraguan coast.

Table 1. Description of tsunami models used for computations

	近域模型	小域模型	氾濫模型
支配方程式	線形	線形	非線形
格子크기	長波理論	長波理論	長波理論
	$\Delta x = 1188\text{m}$ ,	$\Delta x = 396\text{m}$ ,	$\Delta x = \Delta y$
	$\Delta y = 1308\text{m}$	$\Delta y = 436\text{m}$	$= 50\text{m}$
時間間隔	3秒	3秒	1秒
格子數	400×280	450×405	250×270
座標系	直交座標系	直交座標系	直交座標系

波及되면外部格子(coarse mesh)와内部格子(fine mesh)사이의水位와流量을 서로交換하는方法이다.本研究에서는連結模型에의한内部境界를 따라首位를一定時間間隔으로貯藏하여氾濫模型의境界條件를入力한다. 이方法은 서로 다른格子體系를動的連結시켜計算을遂行하는方法보다는從屬의인方法이지만比較的遲延하여쓰나미hind-

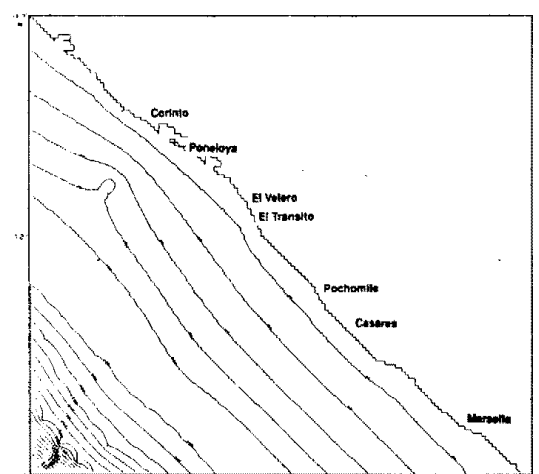
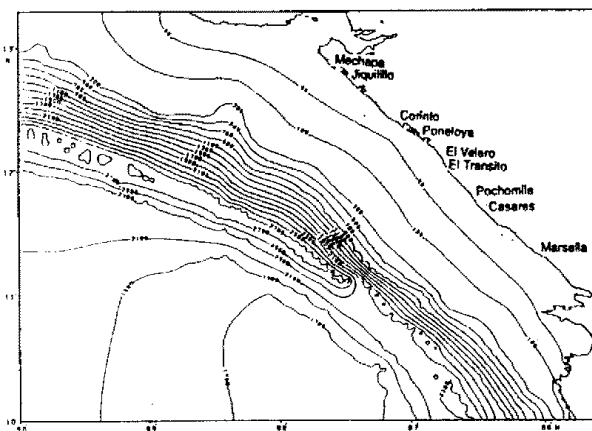
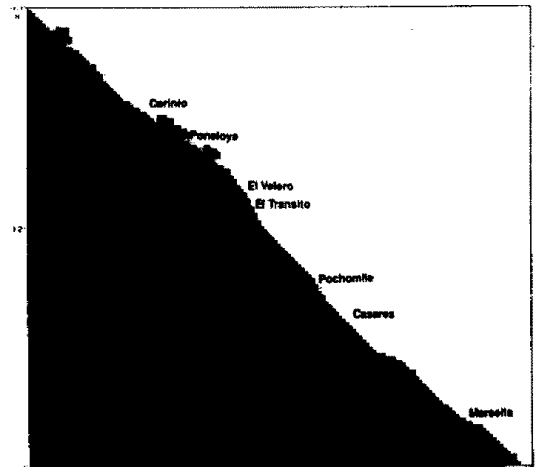
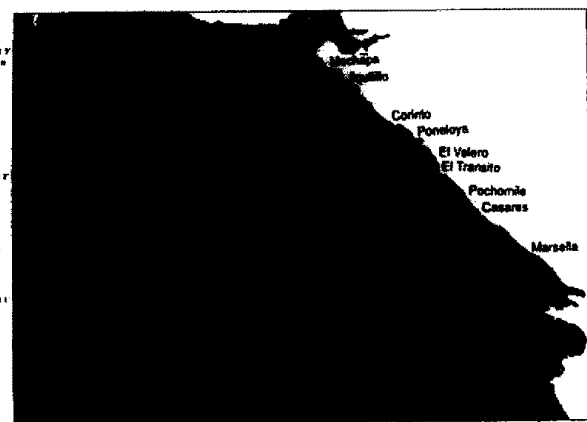


Fig. 4. Grid system of near-field model.

cast를 할 수 있는 長點이 있다. 表 1은 채택된 各模型의 支配方程式과, 格子크기, 時間間隔, 格子數, 座標系를 나타낸다.

近域 및 小域模型에 使用된 數值模型에 使用된 支配方程式은 다음과 같다.

$$\frac{\partial \eta}{\partial t} + \frac{\partial M}{\partial x} + \frac{\partial N}{\partial y} = 0 \quad (1)$$

$$\frac{\partial M}{\partial t} + gh \frac{\partial \eta}{\partial x} = 0 \quad (2)$$

$$\frac{\partial N}{\partial t} + gh \frac{\partial \eta}{\partial y} = 0 \quad (3)$$

여기서  $\eta$ 는 水位,  $g$ 는 重力 加速度  $M$ 과  $N$ 은  $x$ ,  $y$  方向의 腺流量이다. 外海 境界에서는 다음과 같은 反射條件을 適用하여 境界內側의 流體運動이 外側으로 波及되게 하였다.

$$\eta = \sqrt{\frac{M^2 + N^2}{gh}} \quad (4)$$

Fig. 5. Grid system of coastal-field model.

沿岸境界에서는 鉛直壁을 假定하여 泛濫算定은 可能하지 않다. 泛濫模型의 연속방정식은 소역모형과 마찬가지로 式 (1)과 같고, 운동량방정식으로는 다음과 같은 移流項 및 摩擦項을 考慮한 非線形 방정식을 使用하였다.

$$\frac{\partial M}{\partial t} + \frac{\partial}{\partial x} \left( \frac{M^2}{D} \right) + \frac{\partial}{\partial y} \left( \frac{MN}{D} \right) + gD \frac{\partial \eta}{\partial x} + \frac{\tau_x}{\rho} = 0 \quad (5)$$

$$\frac{\partial N}{\partial t} + \frac{\partial}{\partial x} \left( \frac{MN}{D} \right) + \frac{\partial}{\partial y} \left( \frac{N^2}{D} \right) + gD \frac{\partial \eta}{\partial y} + \frac{\tau_y}{\rho} = 0 \quad (6)$$

여기서  $D$ 는 총수심( $h + \eta$ )이며 마찰항은 다음과 같이 나타낸다.

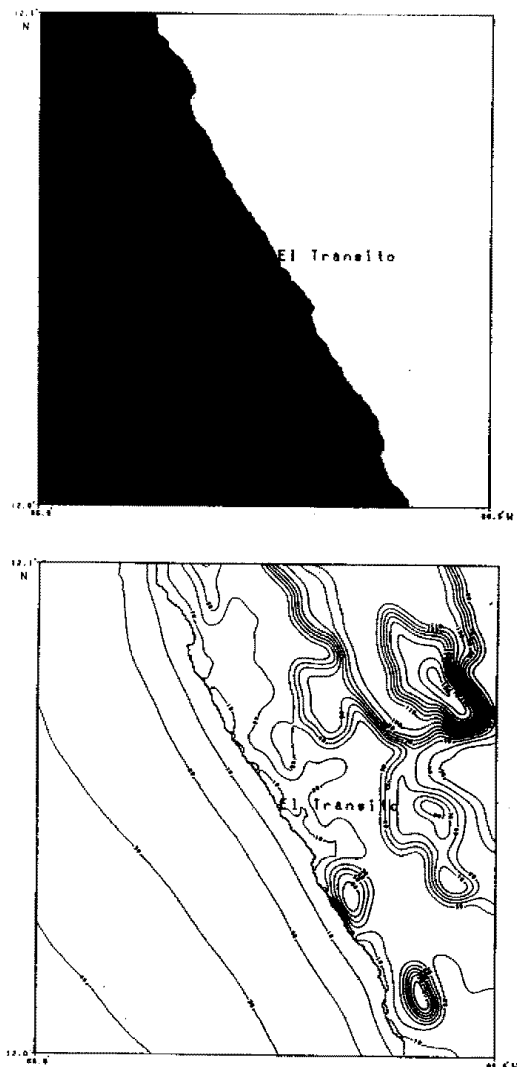


Fig. 6. Grid system of inundation model.

$$\frac{\tau_x}{\rho} = \frac{1}{2} \frac{f}{D} U \sqrt{U^2 + V^2}, \text{ 여기서 } f(\text{마찰계수})$$

$$n = \sqrt{\frac{f D^{1/3}}{2g}}$$

$$\frac{\tau_x}{\rho} = \frac{gn^2}{rD^{7/3}} M \sqrt{M^2 + N^2} \quad (7)$$

$$\frac{\tau_y}{\rho} = \frac{gn^2}{D^{7/3}} N \sqrt{M^2 + N^2} \quad (8)$$

여기서  $n$ 은 Manning의 粗度係數로서 0.025를 취하였다.

中間域(近域) 模型(Fig. 4)은 西經  $90^\circ$  ~ 西經  $86.6^\circ$ , 北緯  $10^\circ$  ~  $13.2^\circ$  를 外廓 境界로 하였고 小域(Fig. 5)은 西經  $87.5^\circ$  ~  $86.8^\circ$ , 北緯  $11.2^\circ$  ~  $12.7^\circ$  이며 격자간격은

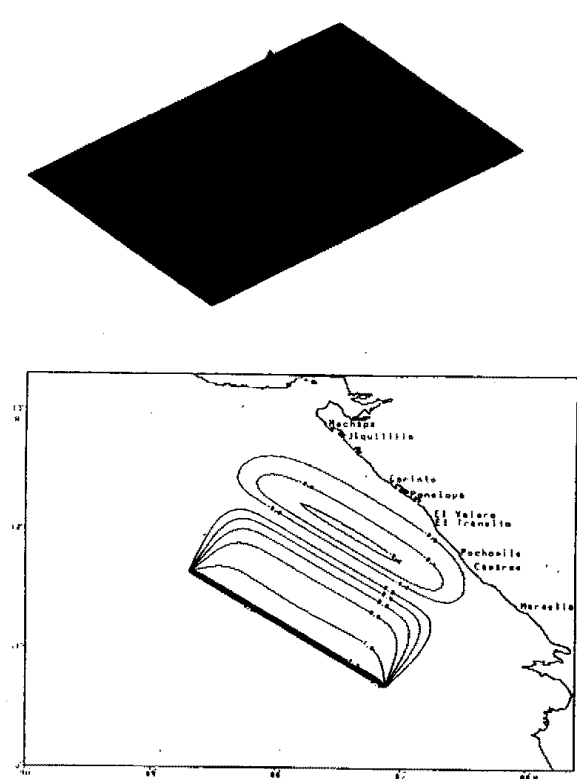


Fig. 7. Initial tsunami profile.

근역의 1/3이다. 泛濫域(Fig. 6)은 西經  $86.5^\circ$  ~  $86.6^\circ$ , 北緯  $12.0^\circ$  ~  $12.1^\circ$ 이며 Fig. 6에 역시 水深과 地形이 제시되는데 泛濫域의 水深 45m 未滿의 浅海域이다.

### 3. 計算結果

今回の 地震은 地震에 의한 直接的인 陸地에서의被害는 없고 오직 쓰나미에 의해 海岸에서 深刻한被害가 發生한 典型的인 쓰나미 地震(tsunami earthquake)으로 使用된 斷層 파라메타는  $M_s = 7.0$ ,  $M_w = 7.7$ ,  $M_0 = 5.26 \times 10^{27}$  erg, strike direction( $\Theta$ ) =  $302^\circ$ , dip angle( $\delta$ ) =  $16^\circ$ , slip angle( $\lambda$ ) =  $87^\circ$ , 길이 200 km, 폭 100 km, dislocation 3.75m이다. 쓰나미의 初期波形은 斷層의 昇降速度가 長波의 傳播 speed 보다 빠를 경우 單層 變形으로 인한 海底의 變位와 같다고 알려지고 있다. 上記 파라메타를 根據로 Mansinha와 Smylie(1971)의 理論에 의해 初期水面 變位를 算定한 것이 Fig. 7로서 Photo 2는 쓰나미 발생후의 초기파形이 전파되는 양상을 과학적 가시화기법에 의해 제시시킨 것으로 두개의 loop이 형성되어 와해와 육지 쪽으로 파급되는 것을 보인다. 長軸이 200 km, 短軸이

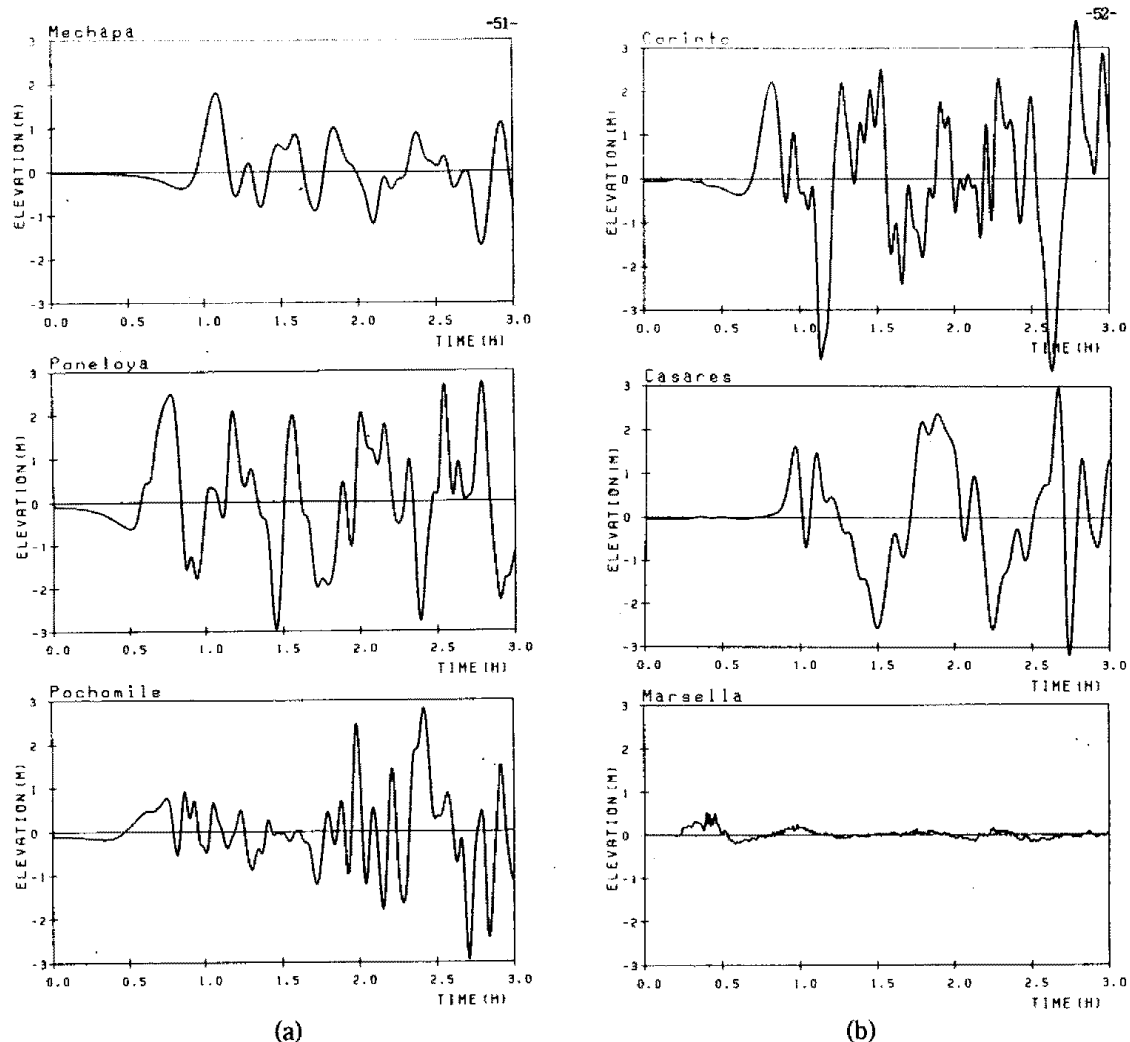


Fig. 8. Computed tsunami elevations from near-field model.

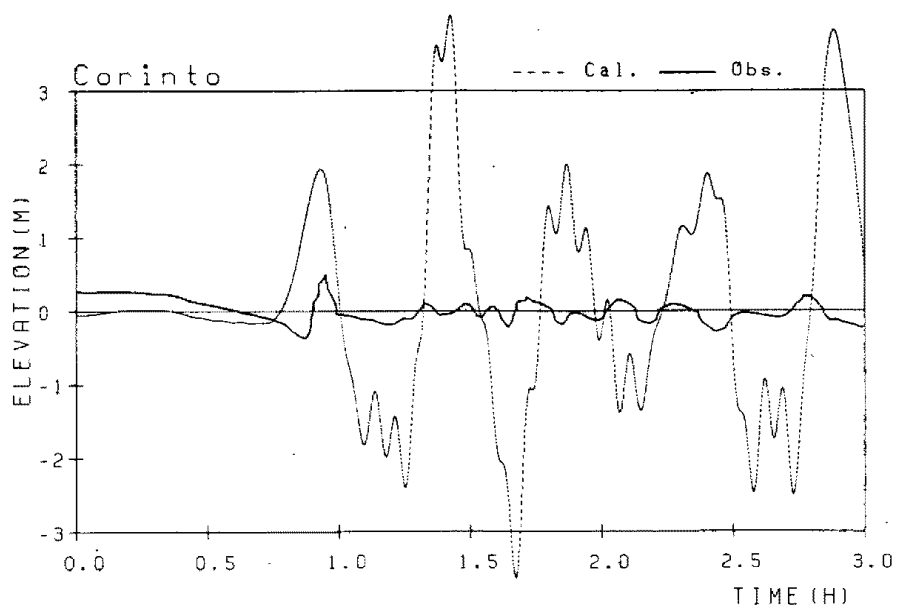


Fig. 9. Comparisons of observation and computed results at Corinto.



Photo 2. A series of surface profile at initial stage of tsunami.

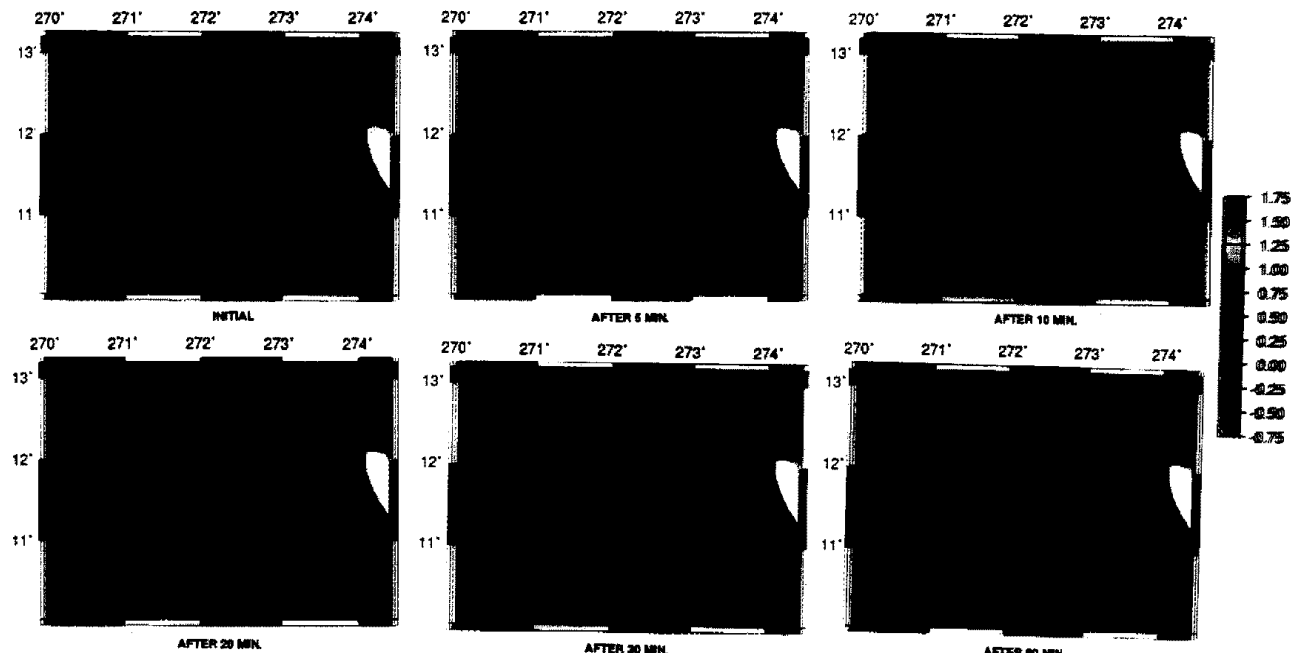


Fig. 10. Computed tsunami propagation from near-field model.

100 km이며 最高 1.2m 最低 −0.6m의 變位를 나타낸다.

Fig. 8은 近域模型의 Mechapa, Poneloya, Pochoamil 등지에서 計算된 水位 分布로서 모두가 初期 水位 減少后 第1波가 到達하는 樣相을 나타내며 第1 波의 到達時間은 30分에서 70分으로서 觀測值와 一致한다.

Nicaragua 海岸에는 檢조소가 3個所이었으나 Corinto를 제외하고 모두 記錄範圍를 벗어났는데 Fig. 9는 Corinto에서의 觀測值와 計算值의 비교를 나타낸다. 初期 下降後 急激한 1波가 到達하는 模貌과 약 52分 第1波가 到達하는 樣相은 一致하나 振幅은 상당한 差異를 보인다. 이것은 檢조기 位置가 閉鎖된 灣內側에 位置하여 實際 振幅을 잘 再現하지 못한 것으로思料된다.

Fig. 10은 時間에 따른 쓰나미의 傳播過程을 GMT로 圖示하였다. 쓰나미 發生 약 5分後 短軸보다는 水深이 깊은 중앙 아메리카 해구를 따라 長軸 方向으로 急速히 傳播하는 모습을 나타내며 10分後 南쪽開放境界를 따라 쓰나미가 빠져 나가는 모습을 나타낸다. 약 30分後에는 E1 Transitor 附近에서 水位가 下降하기 始作하며 60分後에는 Nicaragua 全海岸에 쓰나미가 到達하는 모습을 나타낸다. Fig. 11은 近域, 小域 및 汚濫域 模型에서 計算된 쓰나미 最高水位 분포를 나타내는데 近域과 小域의 모형에서 작게 算定된 水位는 汚濫域모형에서는 實際에 가깝게 재현되고 있다. 最高 水位는 약 12m 정도 까지 계산되었으며 평균 6m 정도의 水位 分布를 나타내고 있다. Fig. 12는 汚濫地域에서 觀測된 最高 汚濫高이다. E1 Transito의 住居 地域에서의 最大 越波高는 6~9.9m

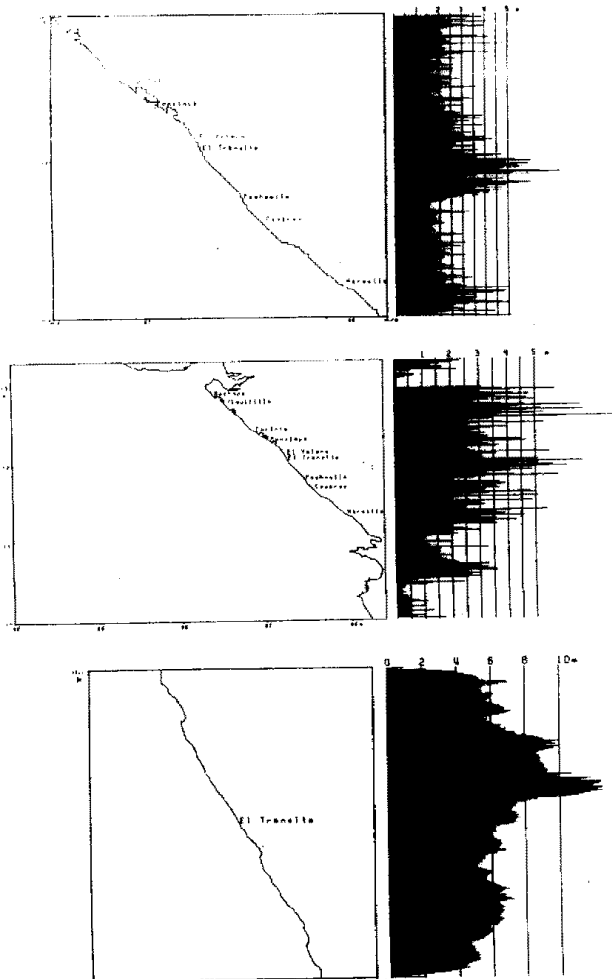


Fig. 11. Maximum tsunami height distribution from the tsunami models.

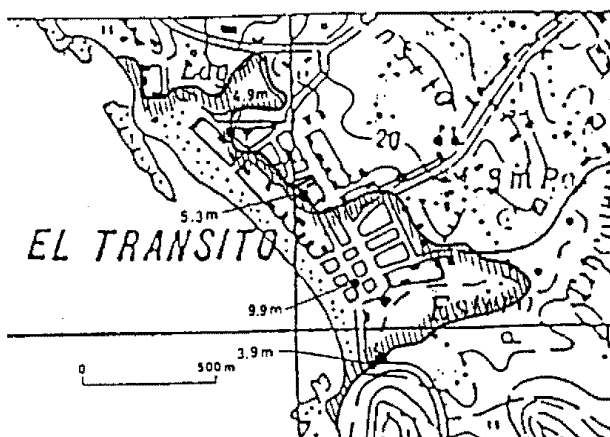


Fig. 12. Schematic map of the submerged area of El Transito (Tsuji et al., 1993).

였다. Fig. 13은 El Transito 地域에서의 時間에 따른 洪水 様相을 나타낸다. 쓰나미는 初期波 到達시간인

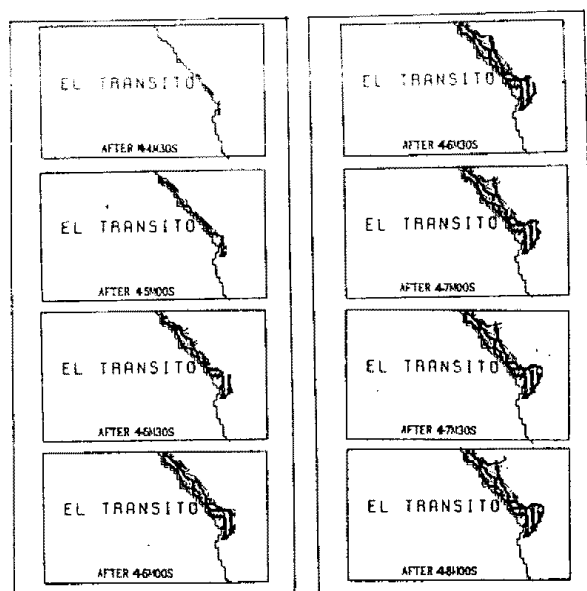


Fig. 13. Computed inundation at El Transito from the inundation model.

發生後 約 44分 30秒만에 洪水이 始作되는 様相을 나타내며 全體的인 洪水 様相은 觀測值와 거의一致하는 것으로 보이고 있다.

#### 4. 結 論

1992年 ニカラグア 沿岸의 쓰나미를 쓰나미 算定 模型에 의해 hindcast 하였으며 洪水 模型을 運用하여 El Transito에서의 洪水를 再現하였다. 쓰나미의 第1 波到達 時間과 洪水 様相을 滿足스럽게 再現시켰으며 더 仔細한 水深, 地形資料가 利用 可能한대로 格子의 細分化를 通하여 越波力에 의한 家屋의 被害를 再現하는 등의 模型을 改善시킬 豫定이며 本 研究의 近域, 中間域 模型에 擴充하여 太平洋全域을 包含하는 遠域 쓰나미 算定을 遂行할 計劃이다. 이러한 課業은 Supercomputer에서의 迅速한 算定에 依存하는 數值模型을 基盤으로 한 쓰나미 豫警報體系의 妥當性을 檢討하는 좋은 契機가 된다. 本 研究는 成均館大-日本 東北大間의 TIME Programm의 協力 課題로서 遂行되었다.

#### 参考文献

- Abe, K.K. et al., 1992a. Survey of Nicaraguan earthquake and tsunami of September 2, 1992. *Geophys. Res. Lett.*  
Abe, K.K. et al., 1992b. Source mechanism of the Nicaraguan tsunami earthquake of September 2, 1992. *Pro-*

- ceedings of IUGG/IOC International Tsunami Symposium, pp. 637-645.
- Gopalakrishna, T.C. and Tung, C.C., 1983. Numerical analysis of a moving boundary problem in coastal hydrodynamics, *International Journal for Numerical Method in Fluids*, 3, pp. 179-200.
- Imamura, F., Shuto, N., Choi, B.H. and Lee, H.J., 1993. Visualization of Nicaraguan tsunami in September, 1992, *Proceedings of IUGG/IOC International Tsunami Symposium*, pp. 647-656.
- Tongashi, H., 1981. Study on tsunami runup and counter-measure, Doctoral Dissertation, Tohoku University.
- Tsuji, Y., Katao, H., Abe, K., Imanura, F. and Iio, Y., 1993. Human and building damages of the 1992 Nicaraguan earthquake tsunami *Proceedings of IUGG/IOC International Tsunami Symposium*, pp. 657-668.